

Fig. 1.

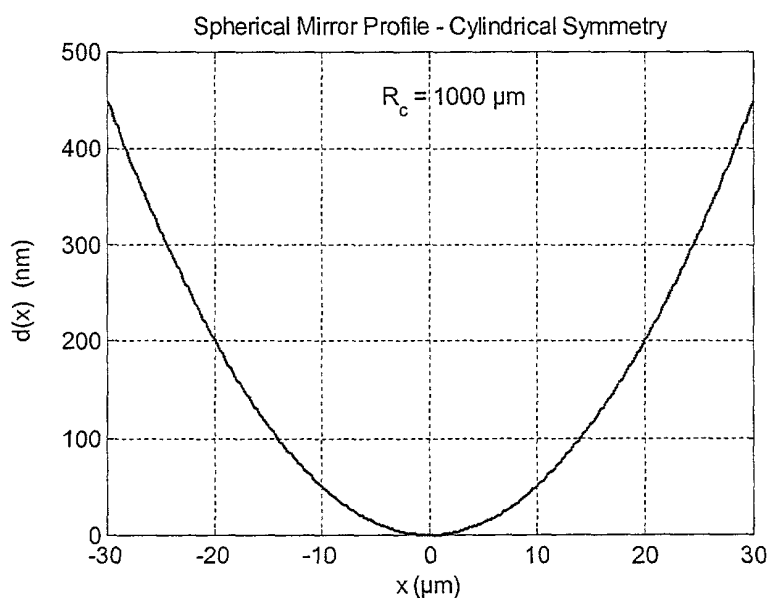


Fig. 2.

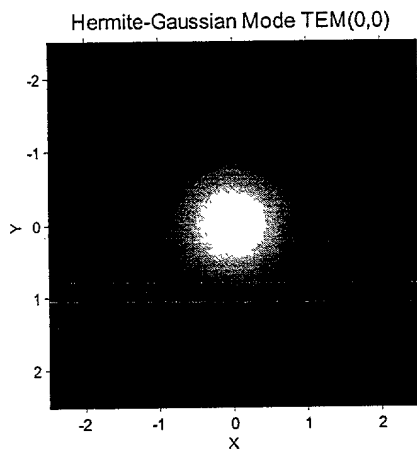


Fig. 3A

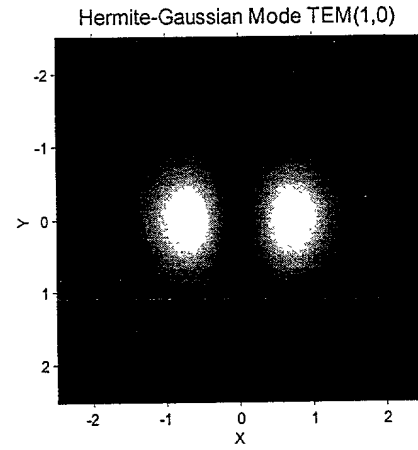


Fig. 3B

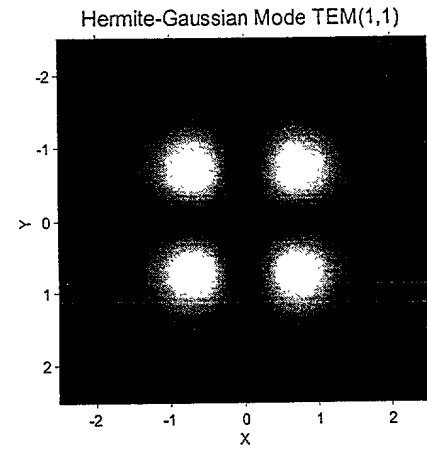


Fig. 3C

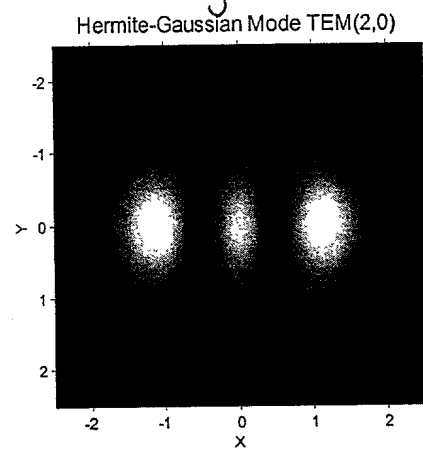


Fig. 3D

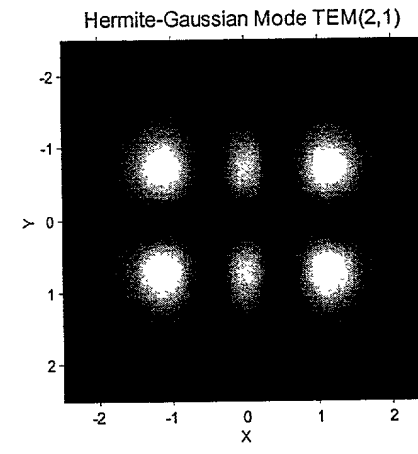


Fig. 3E

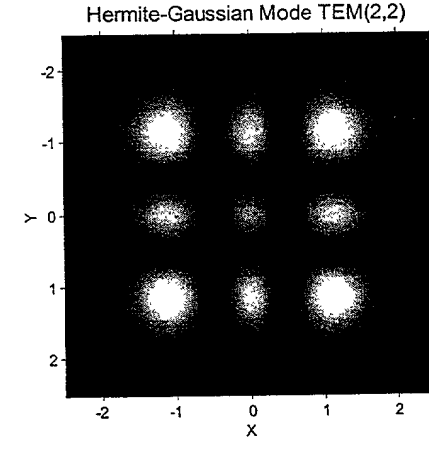


Fig. 3F

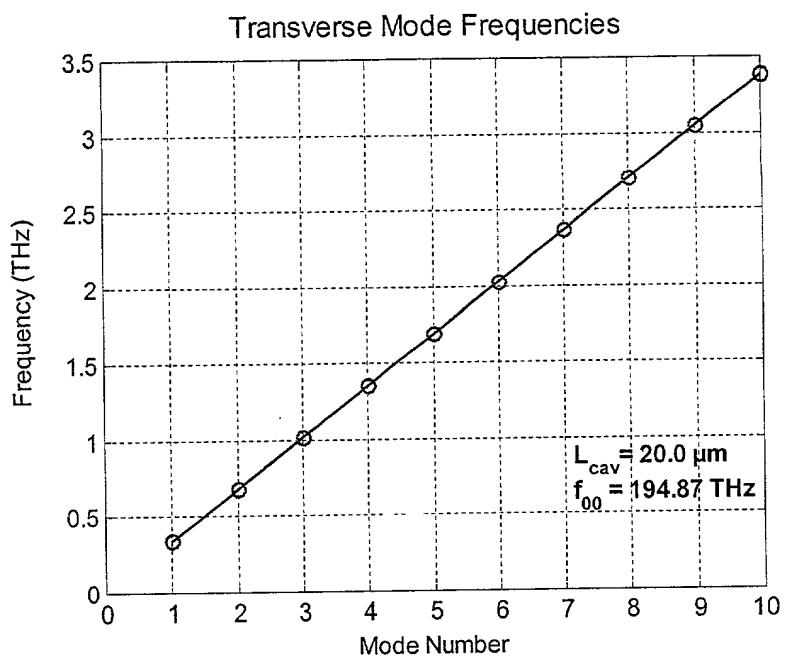


Fig. 4.

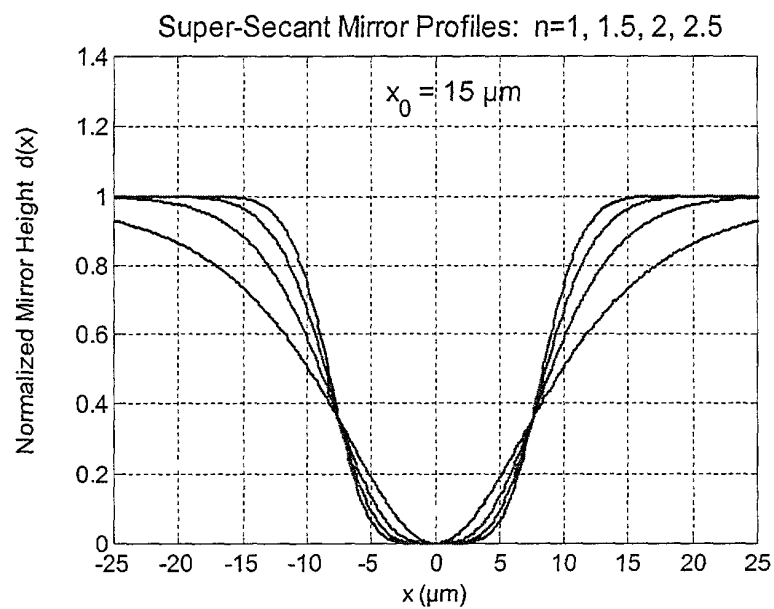


Fig. 5.

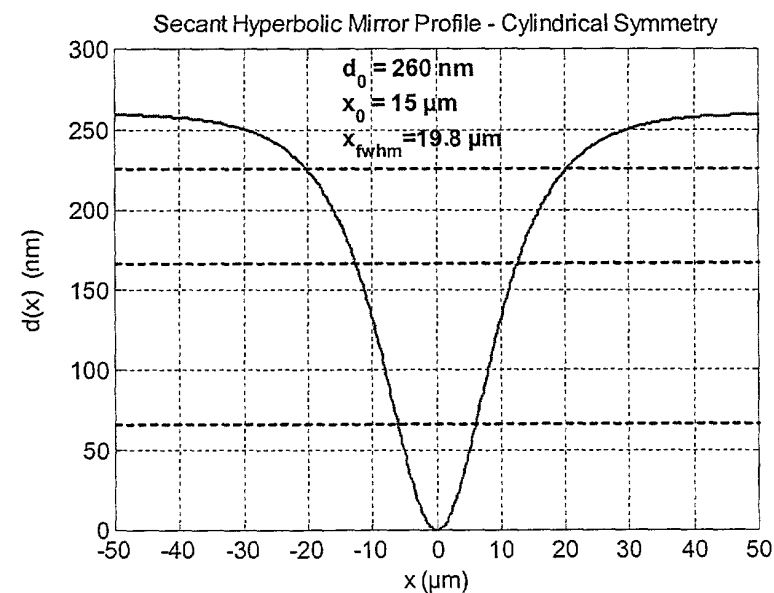


Fig. 6.

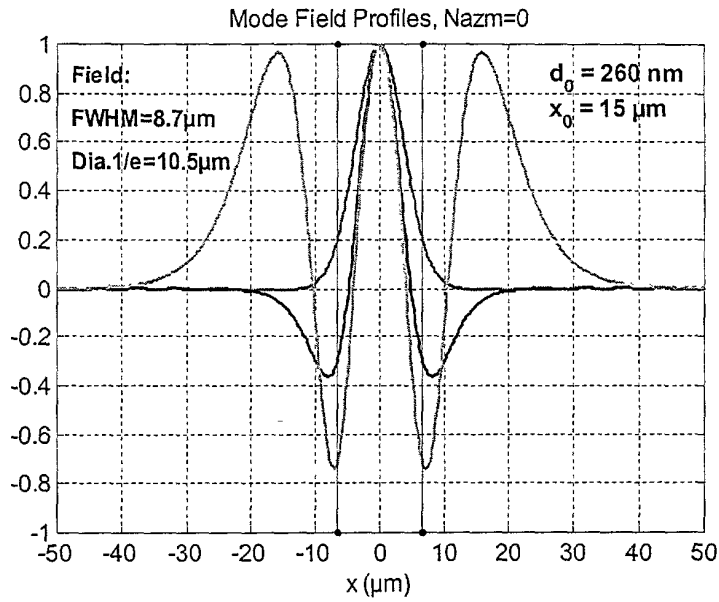


Fig. 7.

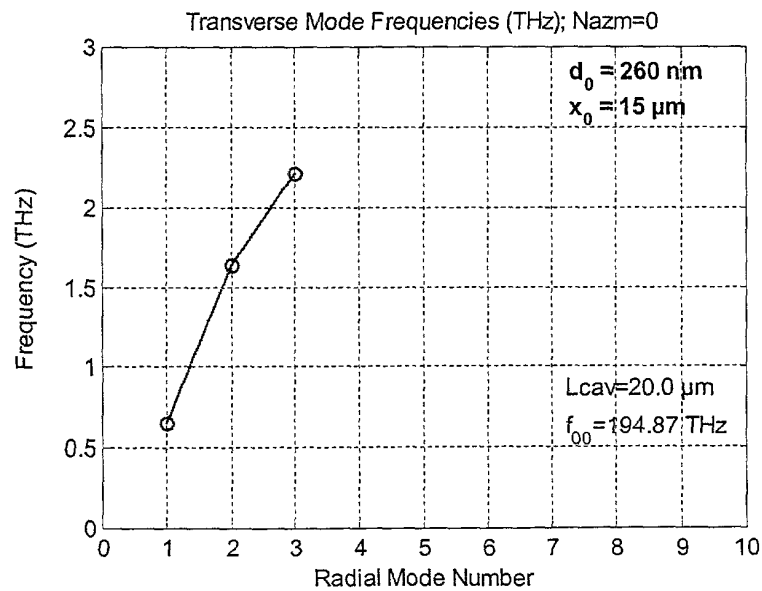


Fig. 8.

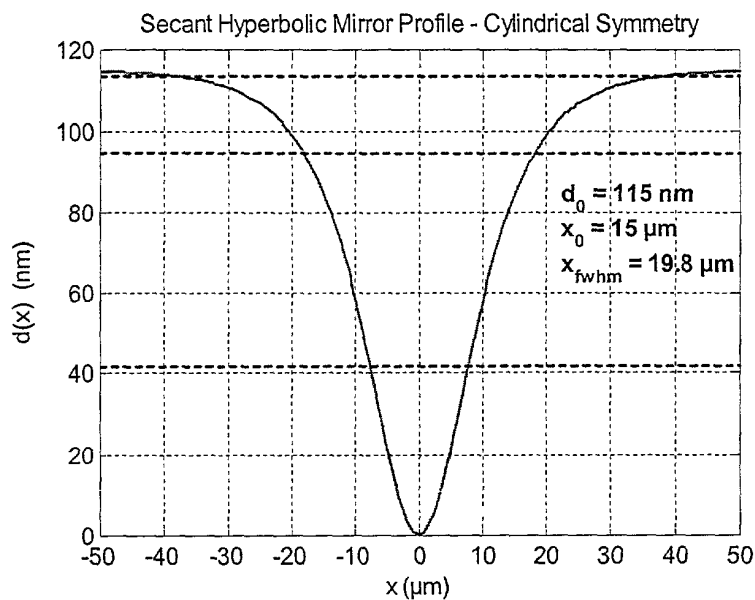


Fig. 9.

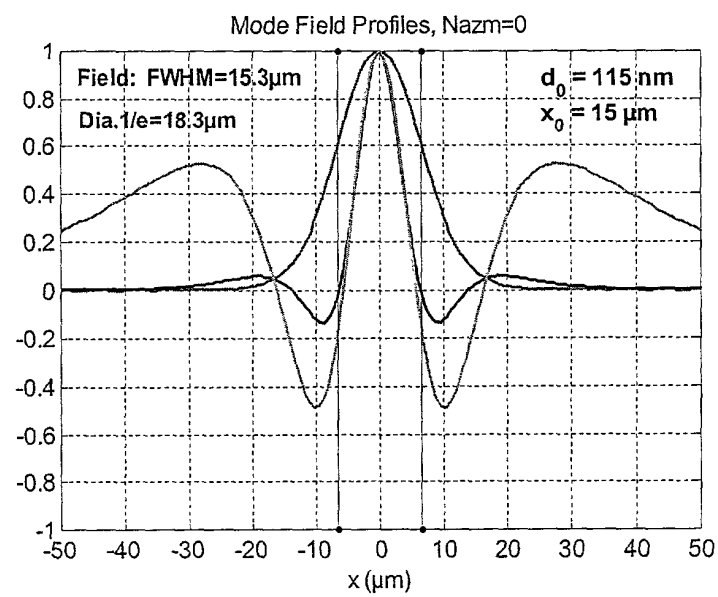


Fig. 10.

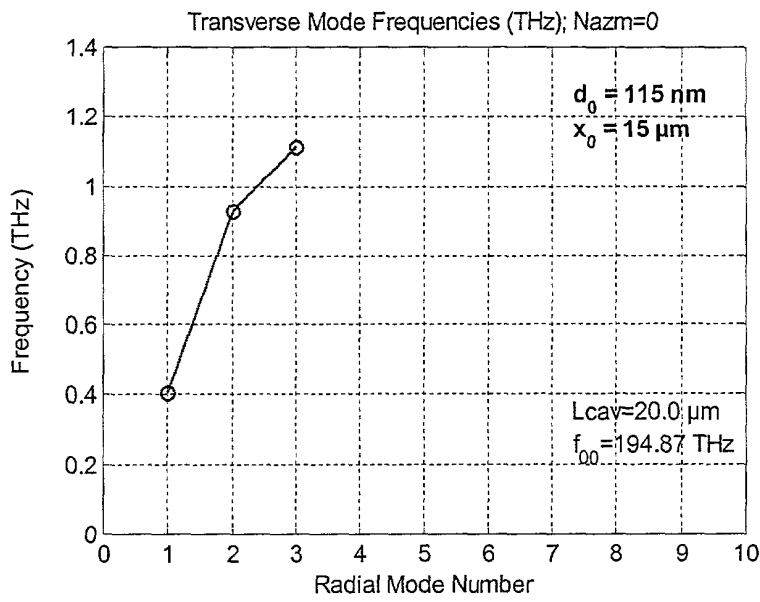


Fig. 11.

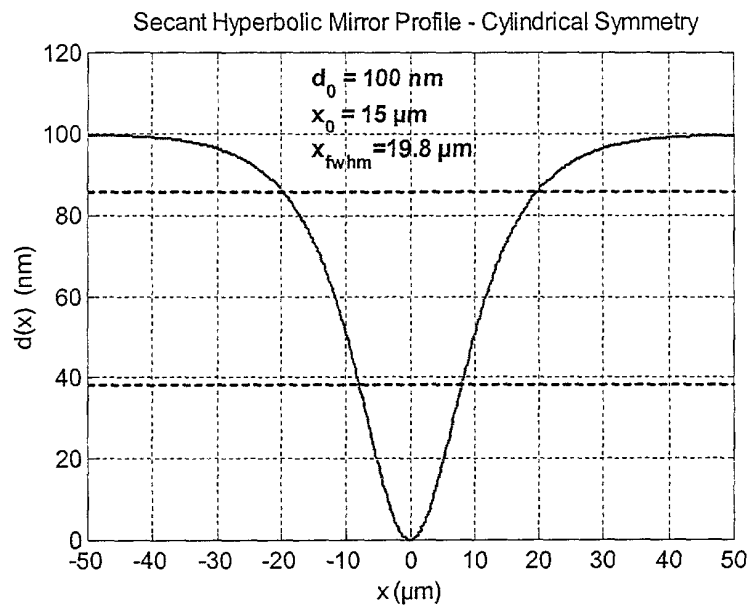


Fig. 12.

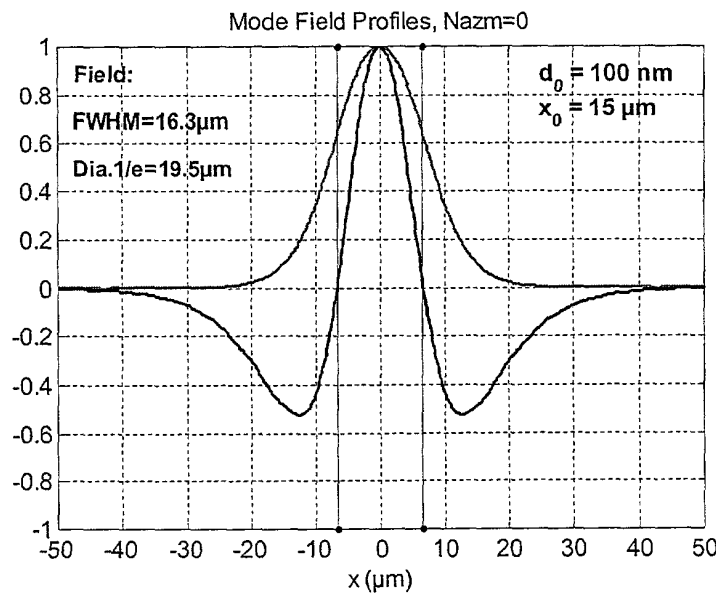


Fig. 13.

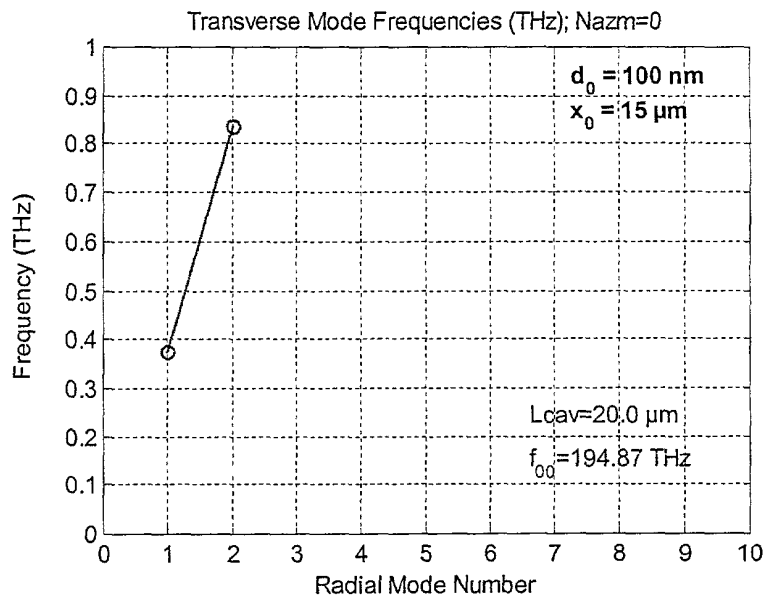


Fig. 14.

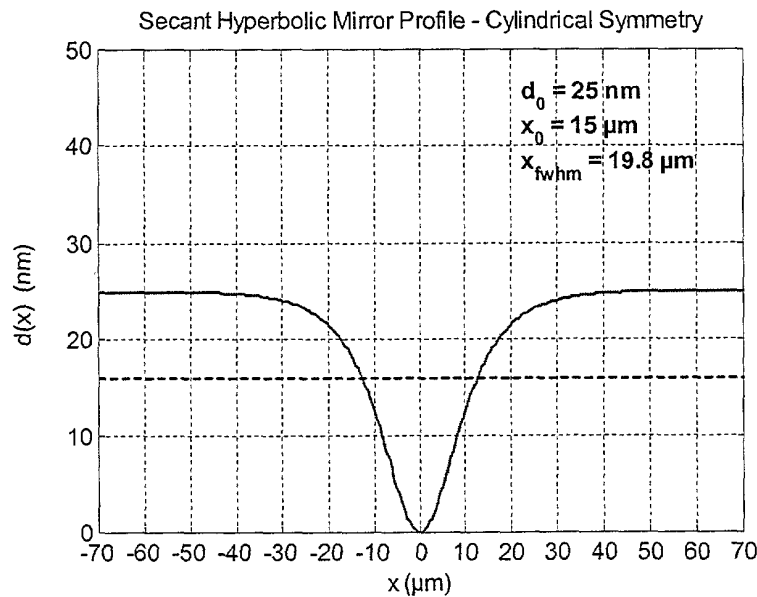


Fig. 15.

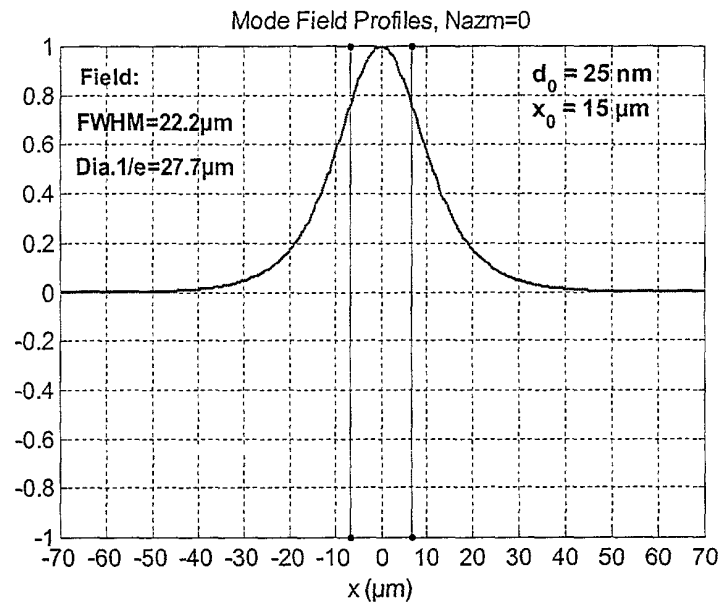


Fig. 16.

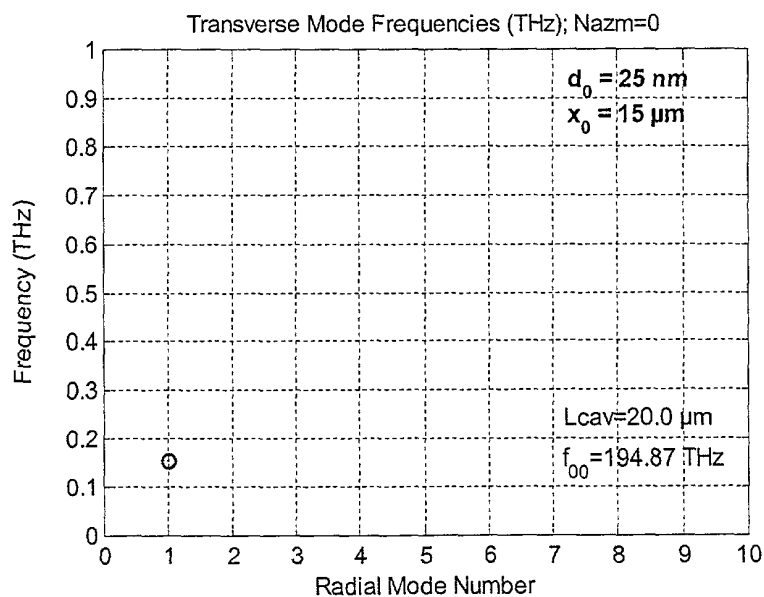


Fig. 17.

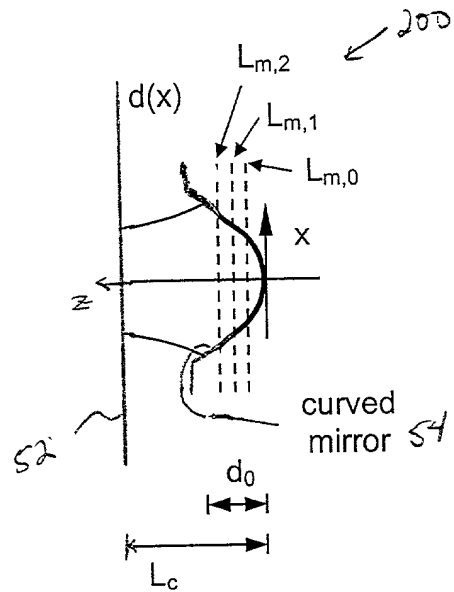


Fig. 18.

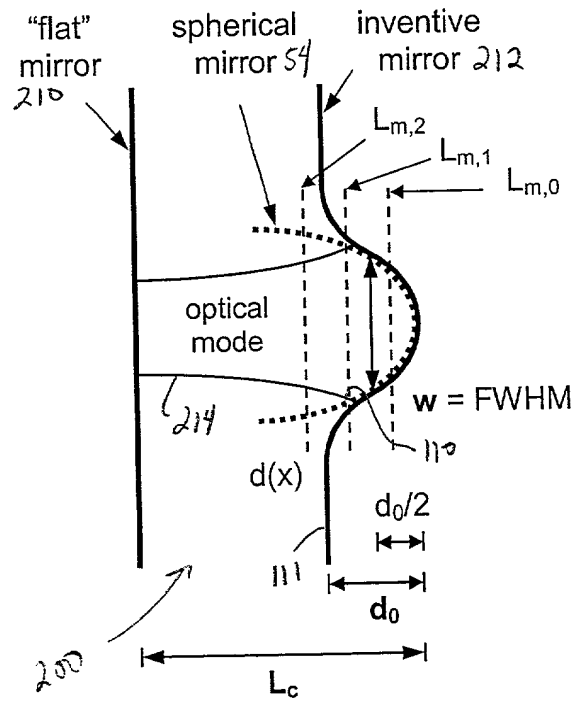


Fig. 19.

**Transverse Modes of a Secant Hyperbolic Mirror
Optical Resonator**

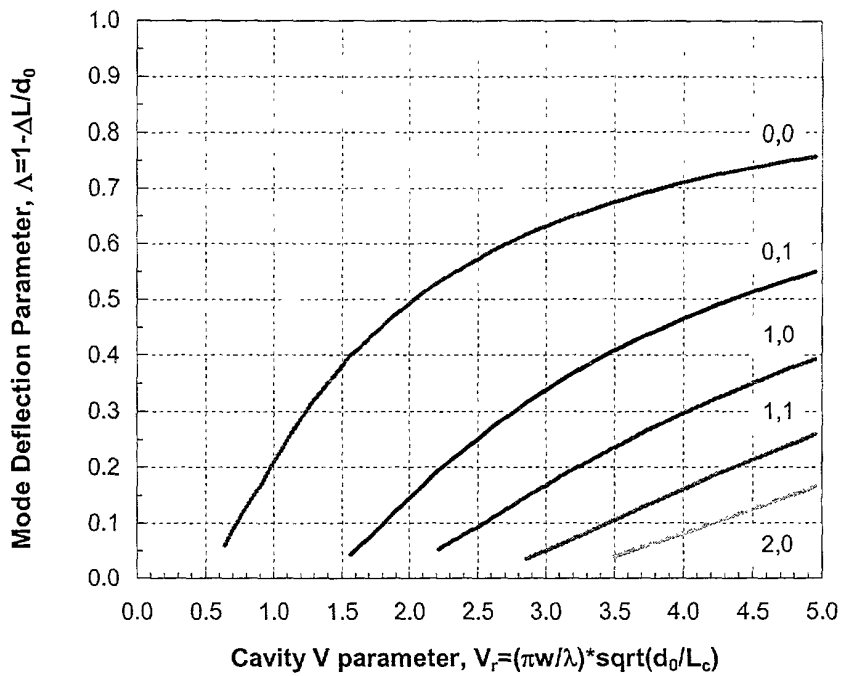


Fig. 20.

Transverse Modes - Secant Hyperbolic Mirror Resonator

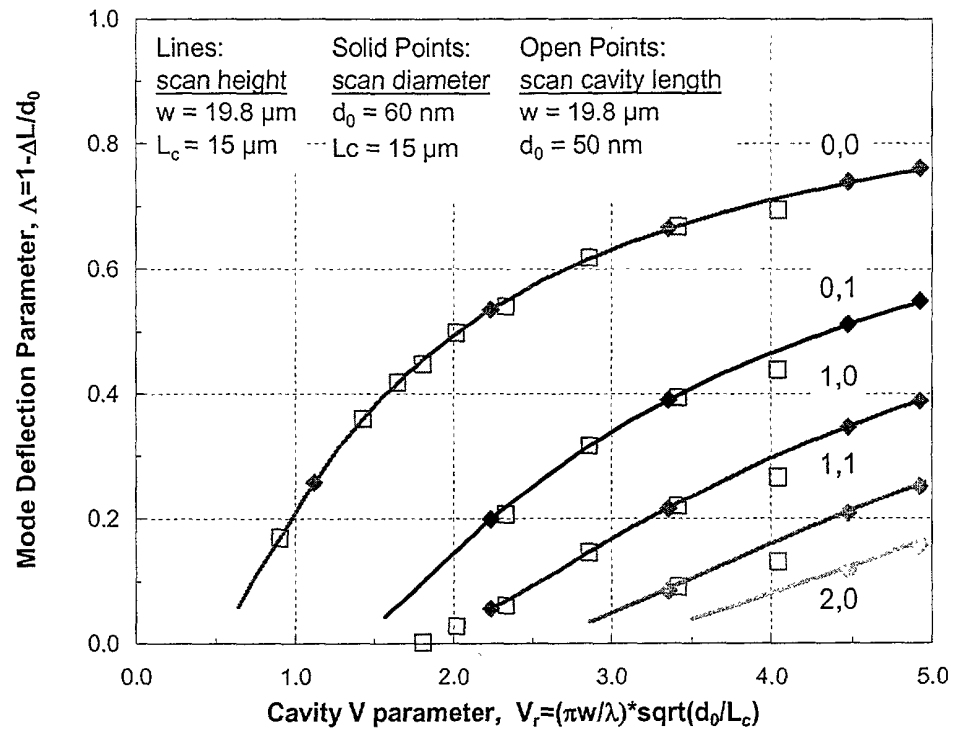


Fig. 21.

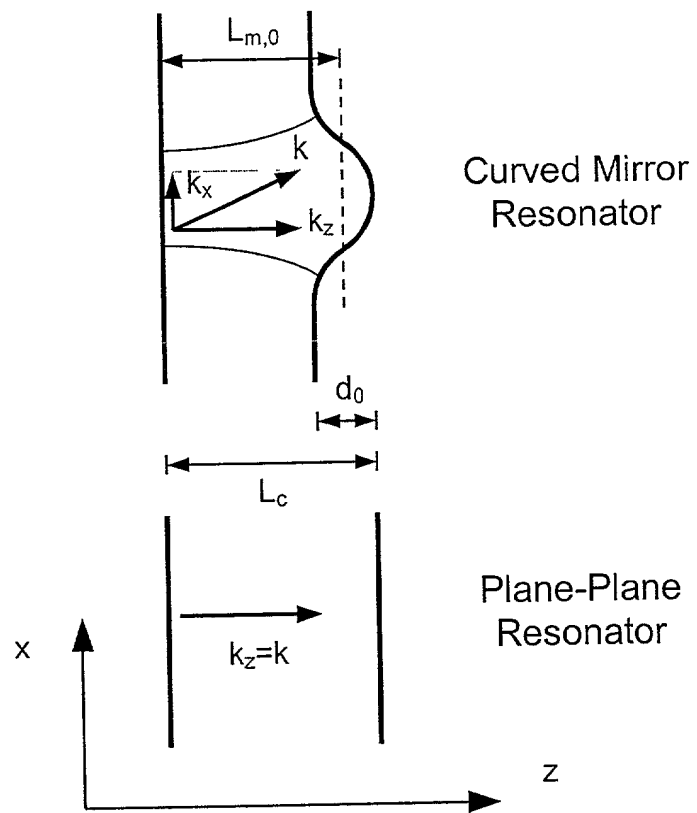


Fig. 22.

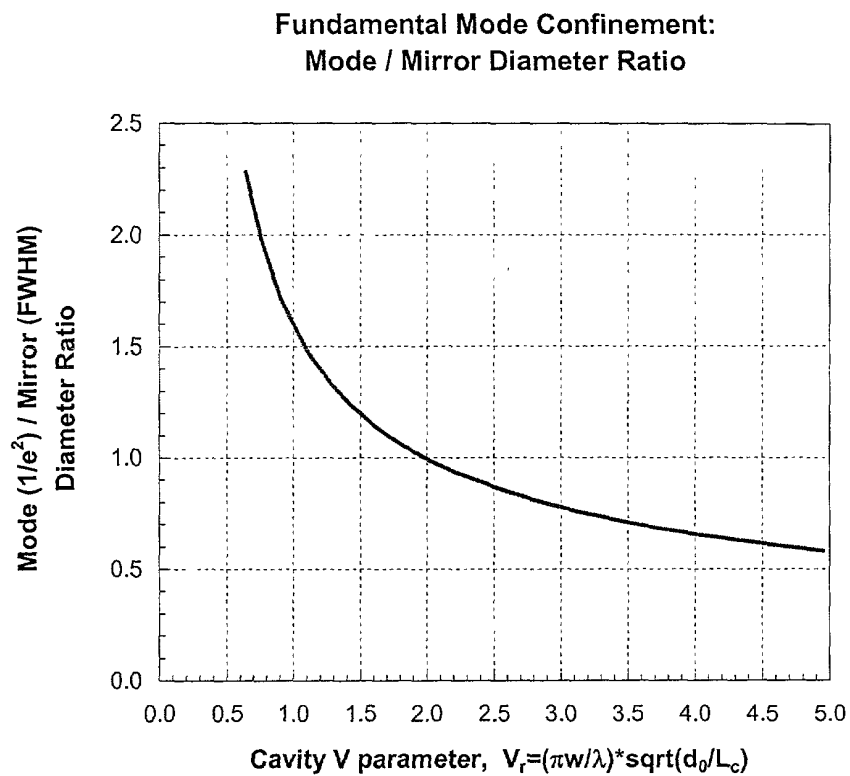


Fig. 23.

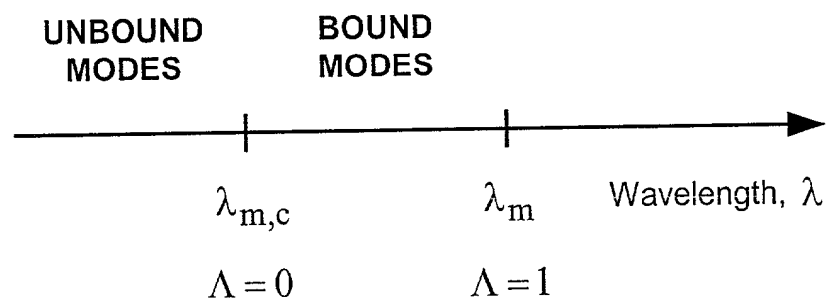


Fig. 24.

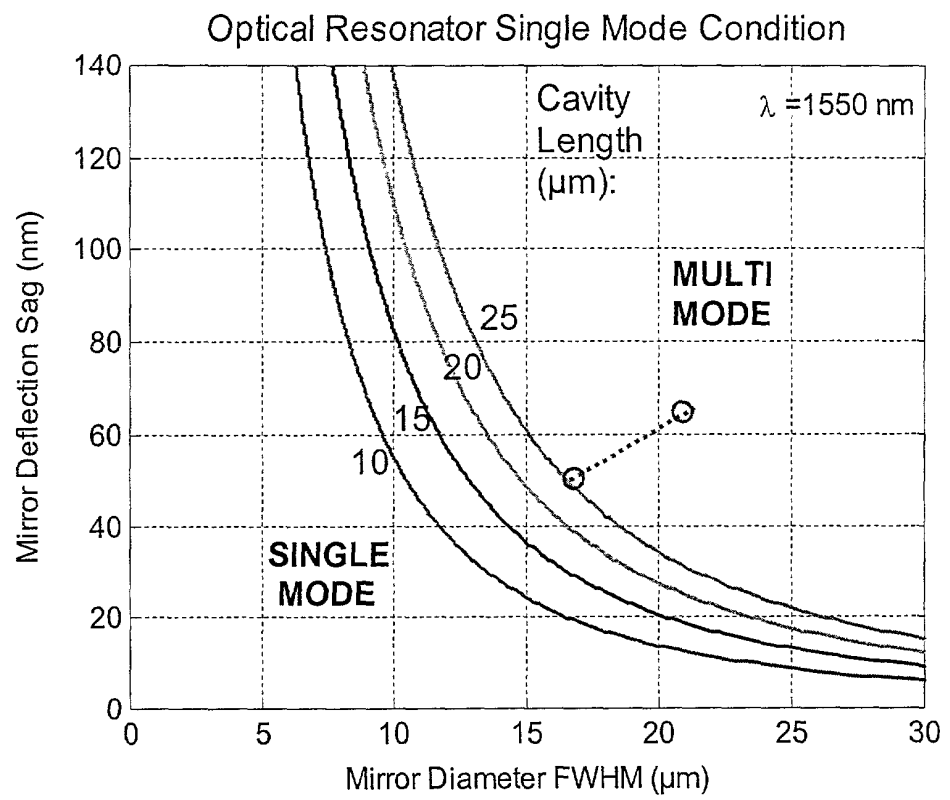


Fig. 25.

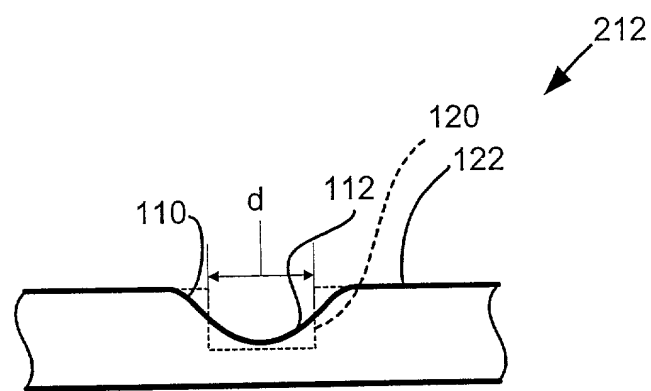


Fig. 26

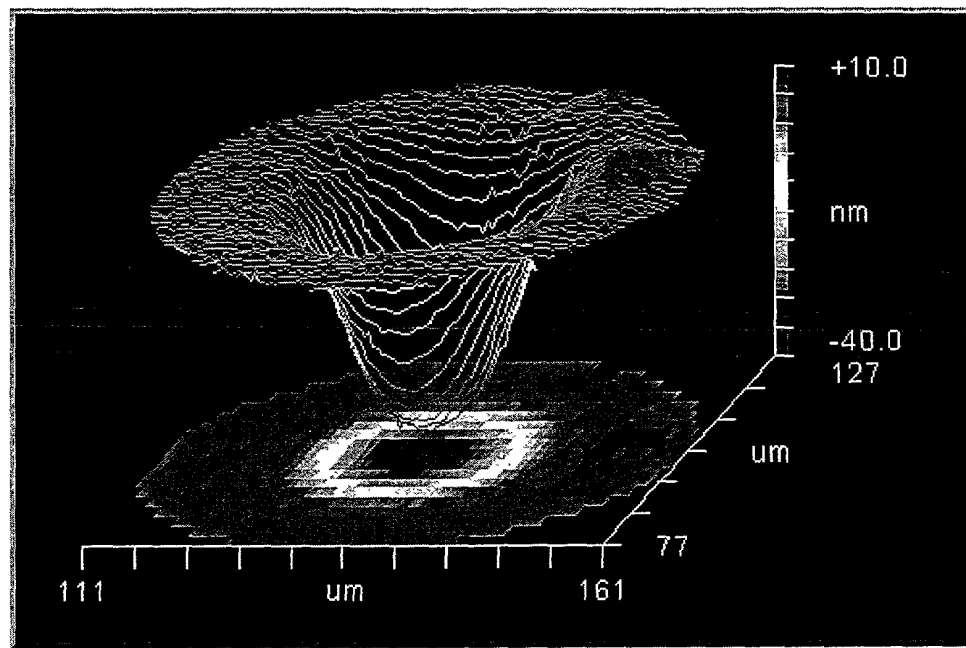


Fig. 27A.

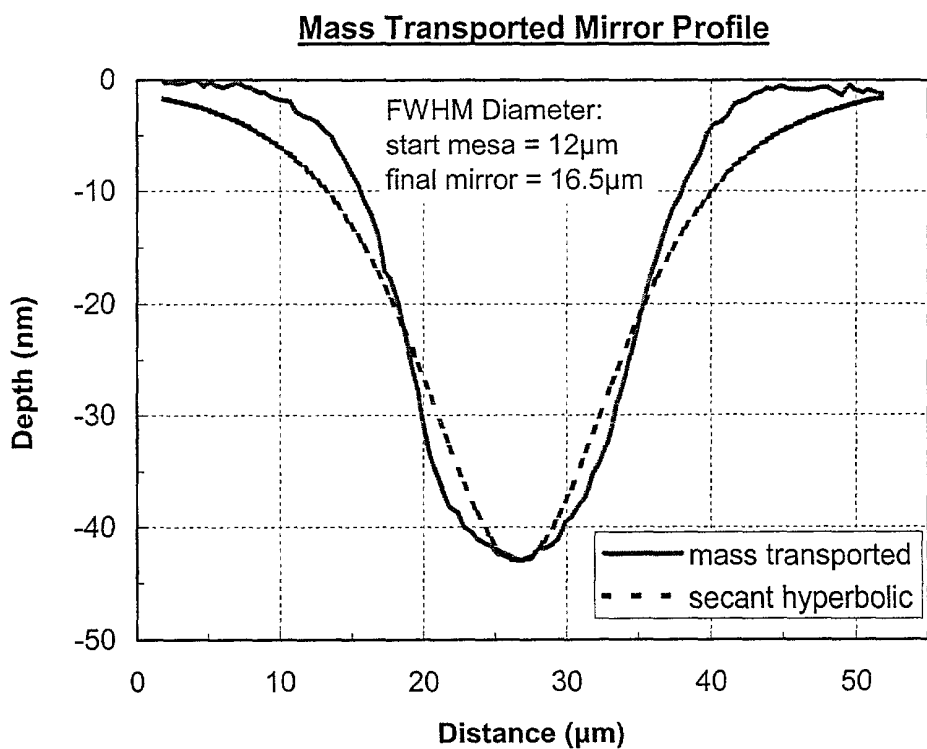


Fig. 27B.

Transverse Modes of Optical Resonators with Finite Depth Mirrors

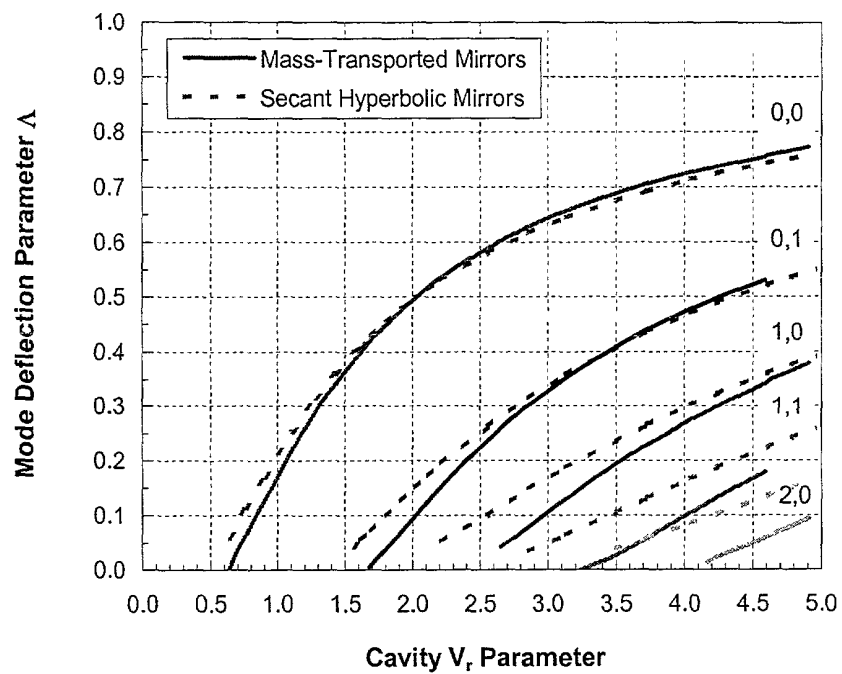


Fig. 28.

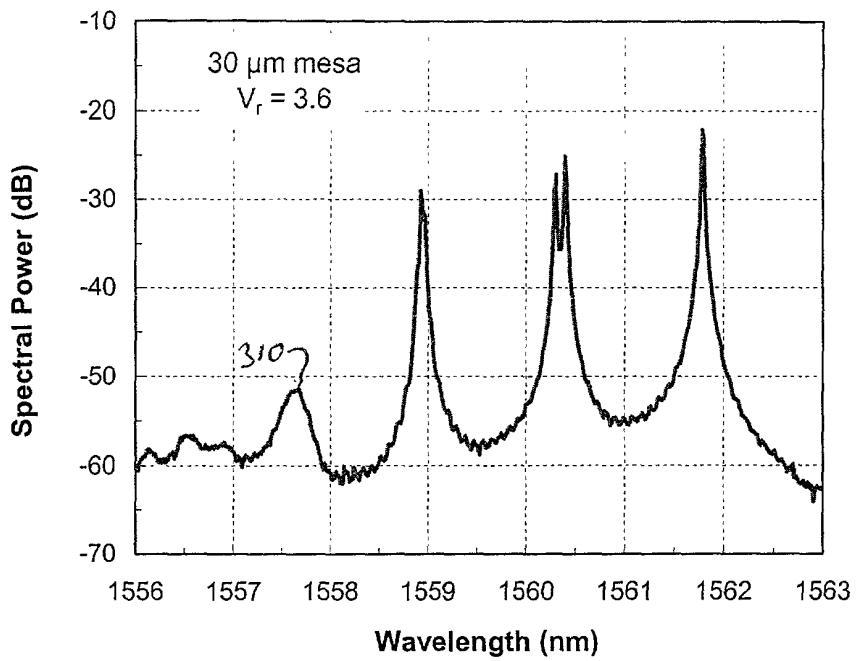


Fig. 29A.

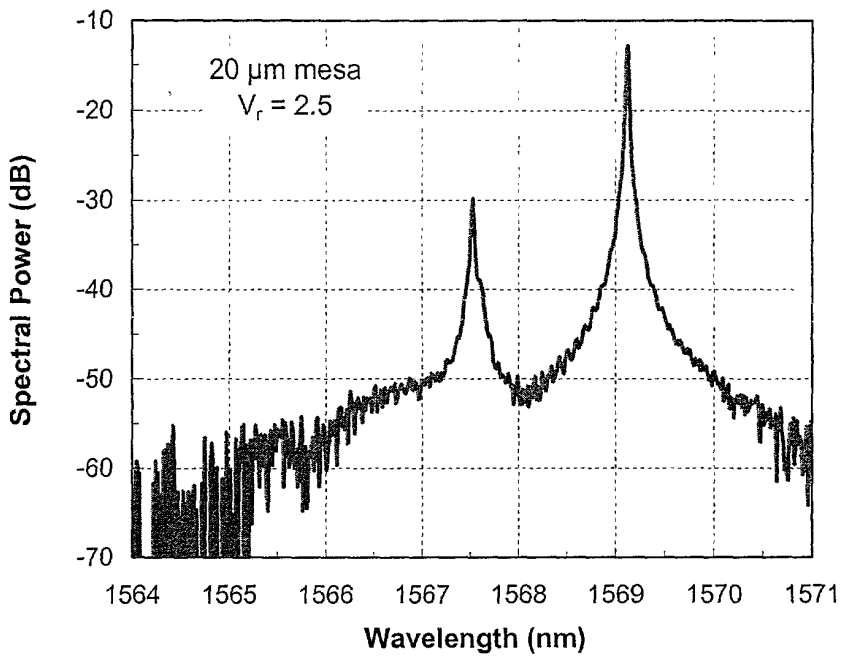


Fig. 29B.

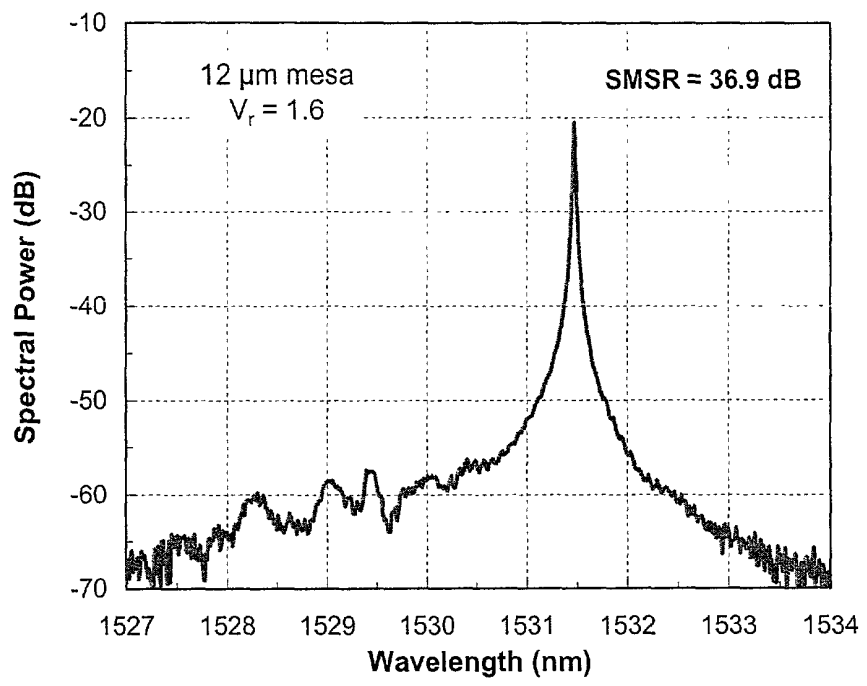


Fig. 29C.

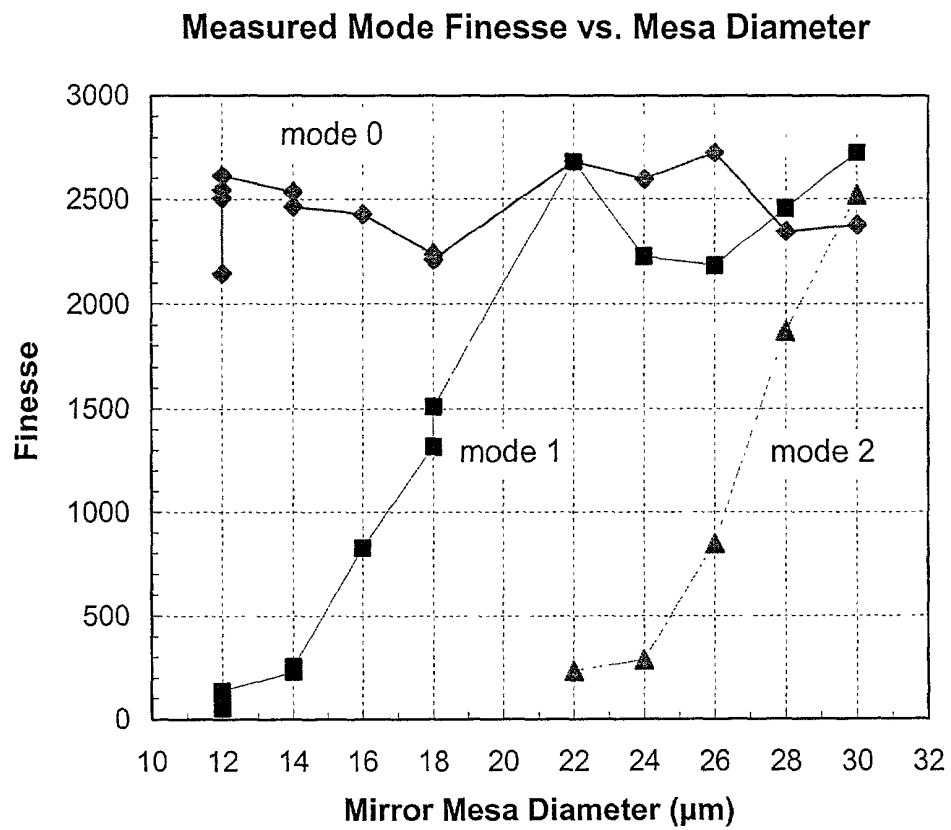


Fig. 30.

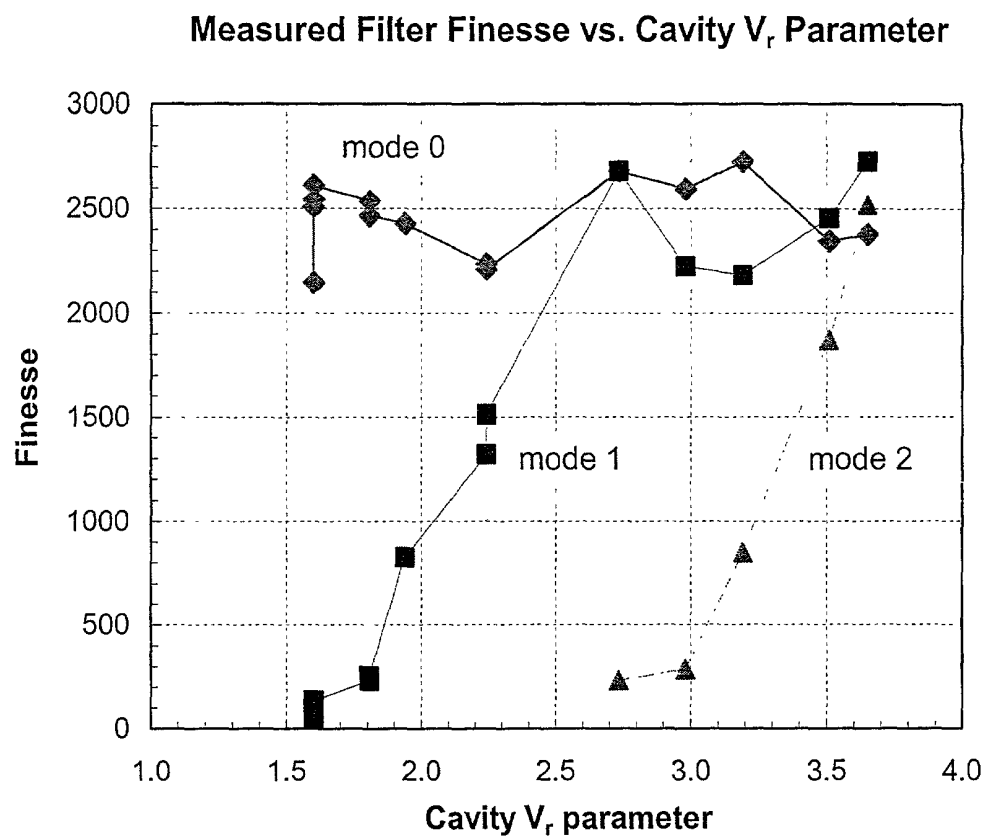


Fig. 31.

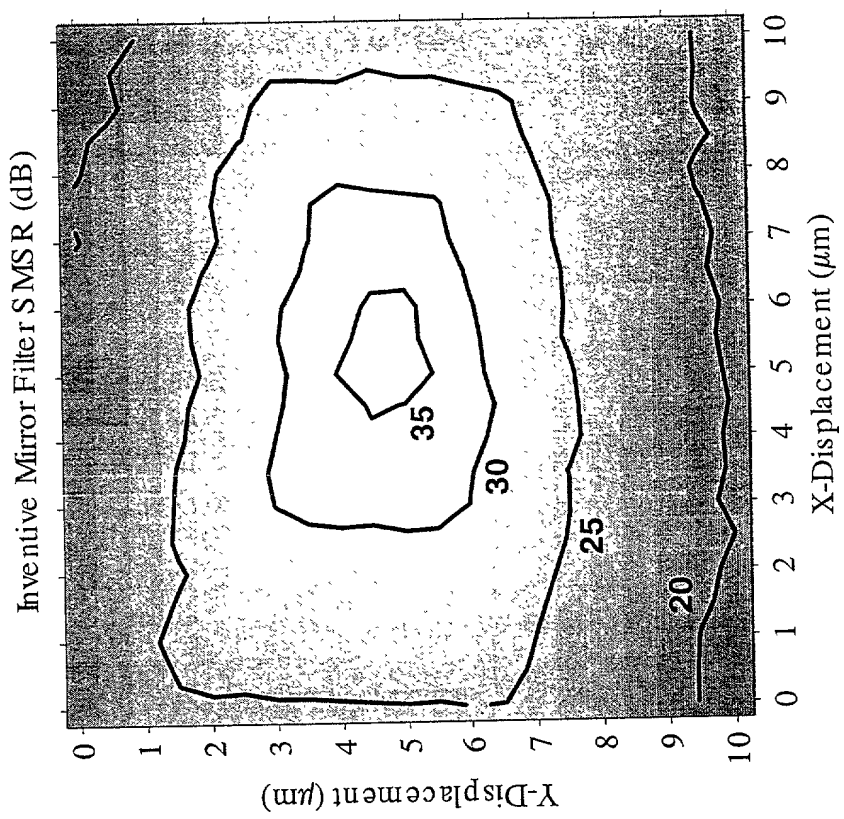


Fig. 32B

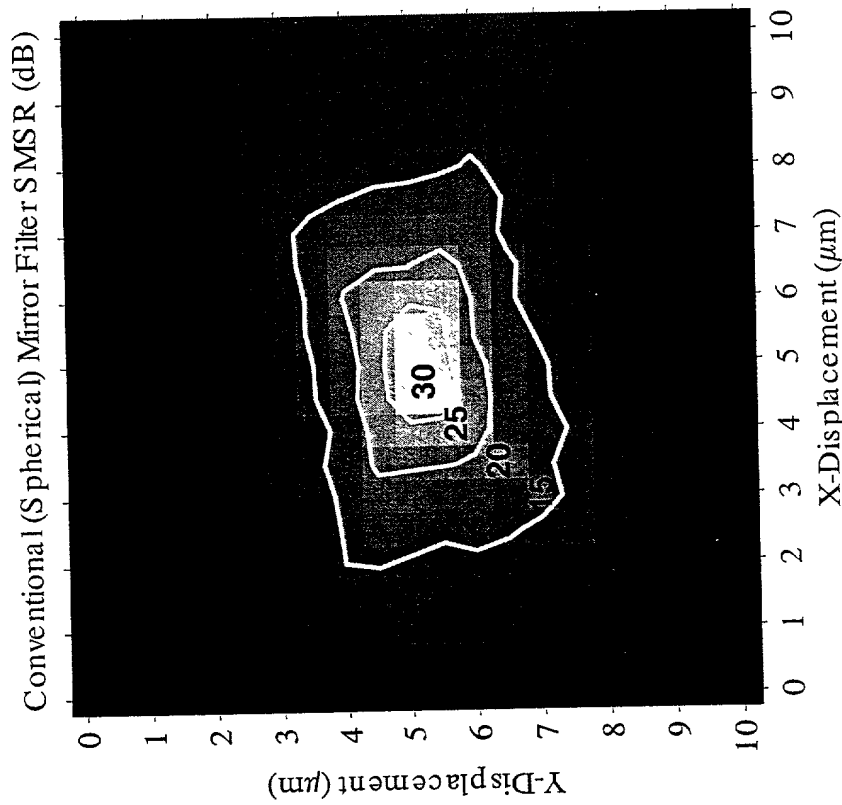


Fig. 32A

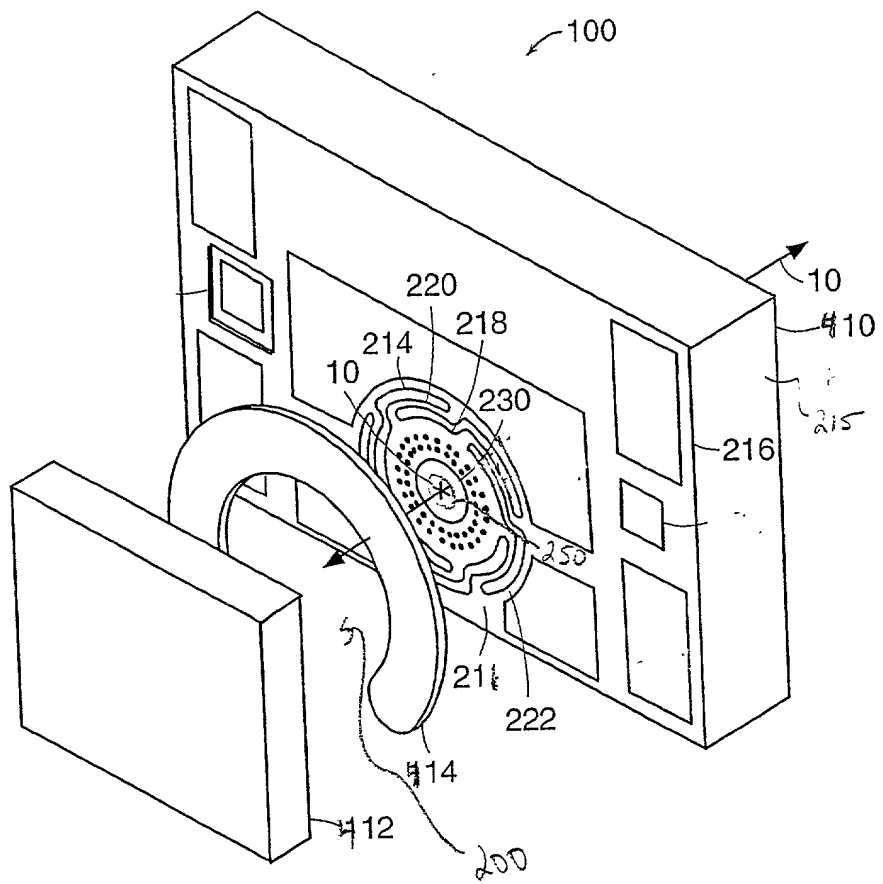


FIG. 33

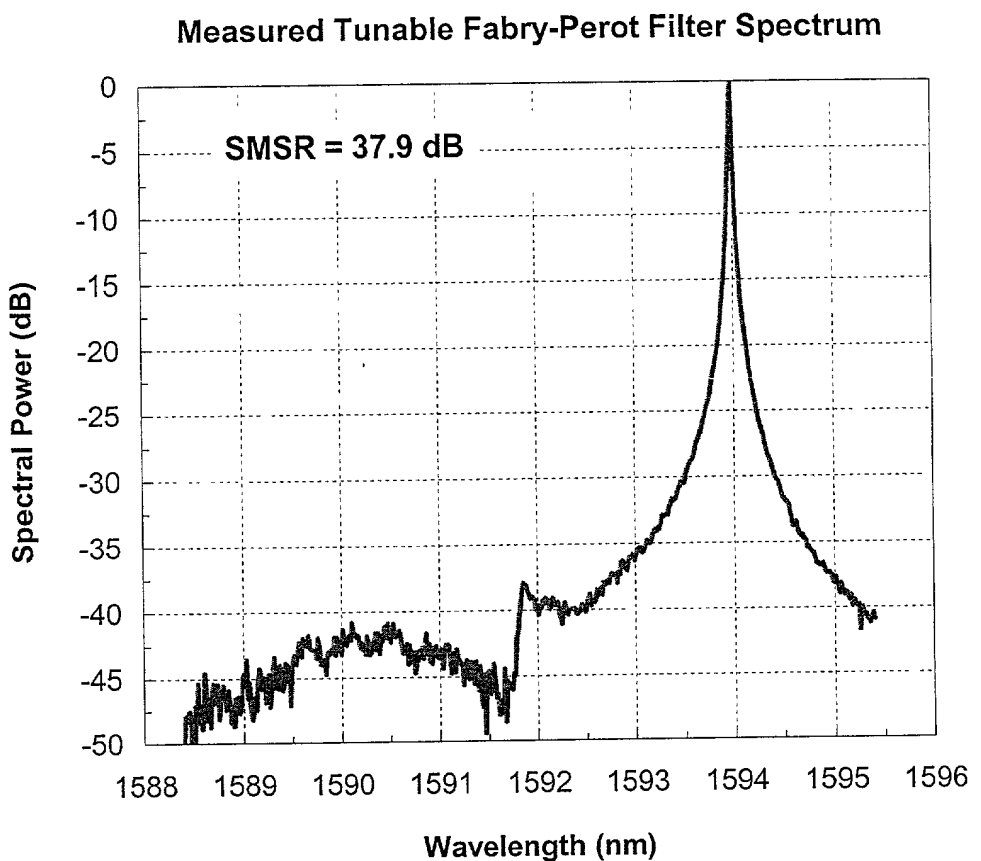


Fig. 34

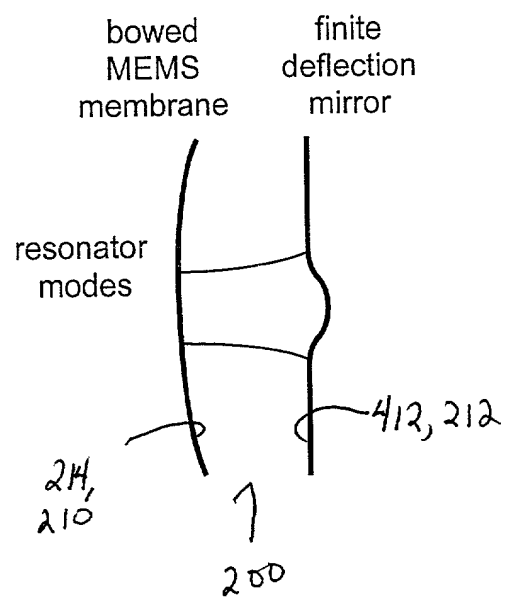


Fig. 35

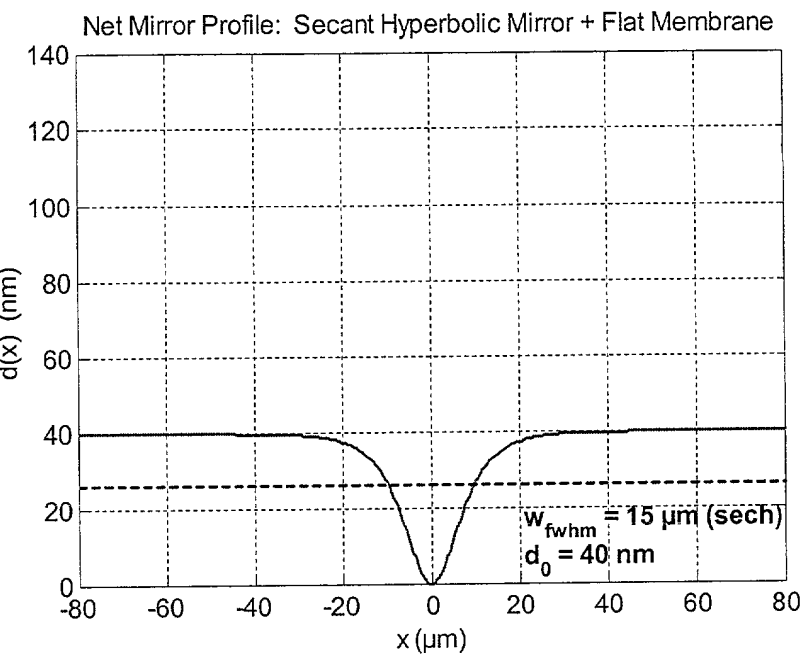


Fig. 36A

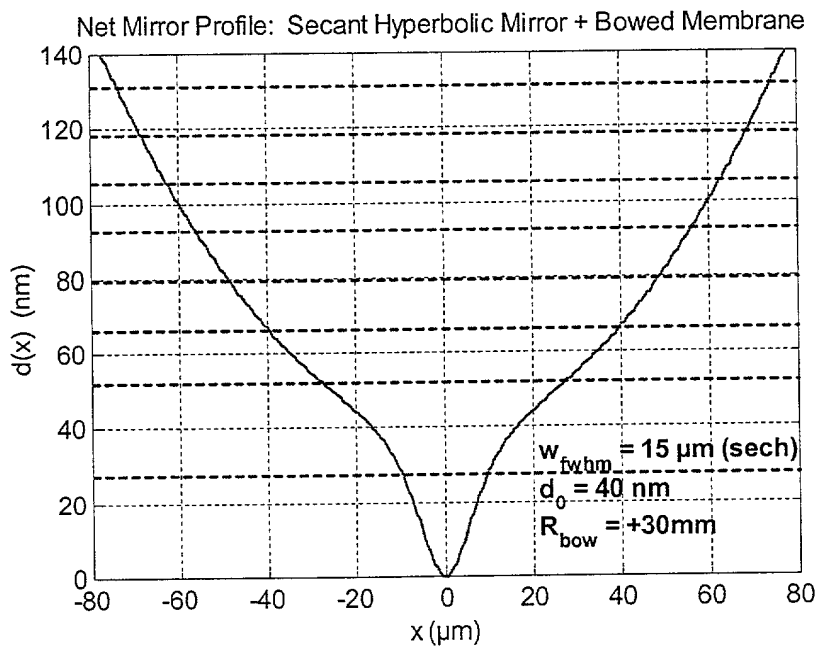


Fig. 36B

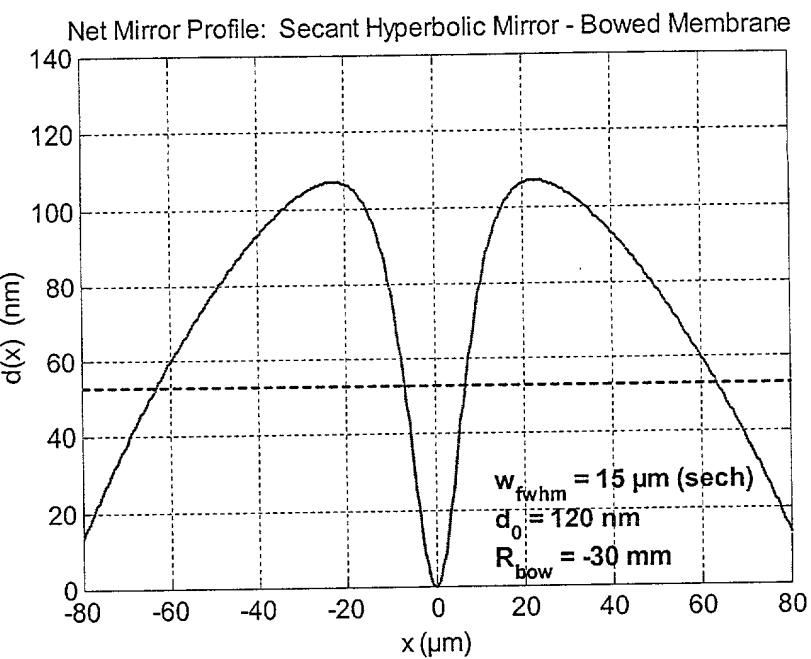


Fig. 3c

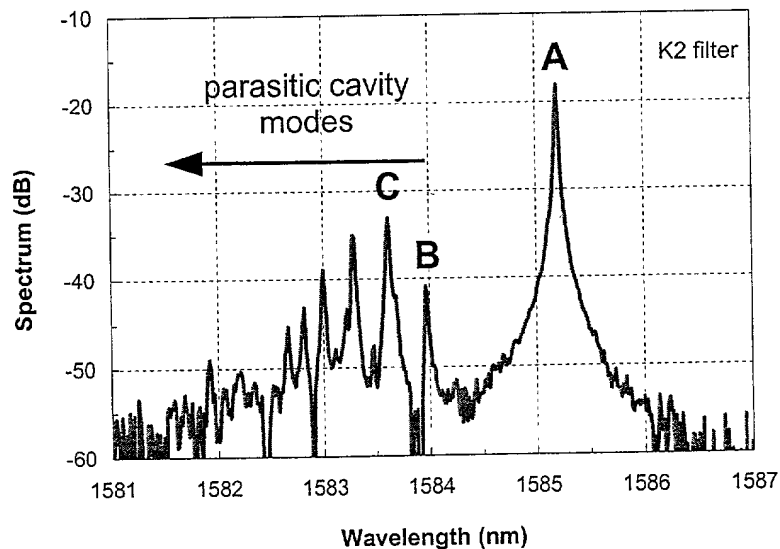


Fig. 3f